

Московский физико-технический институт
(государственный университет)
Факультет общей и прикладной физики
Кафедра "Проблемы теоретической физики"

Спиновая восприимчивость квантовой точки с анизотропным обменом

Выпускная квалификационная
работа на степень магистра
студента 628 гр. Шарафутдинова А.У.

Научный руководитель
к.ф.-м.н. Бурмистров И.С.

Содержание

1	Введение	2
2	Универсальный гамильтониан	2
3	Мезоскопическая стоунеровская неустойчивость	3
3.1	Изотропный случай($J_{\perp} = J_z = J$)	4
3.2	Изинговский случай($J_{\perp} = 0$)	5
3.3	Планарный случай $J_z = 0$	5
3.4	Общий случай	5
4	Разделение заряда и спина	5
4.1	Спин-зарядовое взаимодействие	6
5	Точное решение	7
5.1	Преобразование Вея - Нормана - Колоколова	7
5.2	Вычисление Z	8
5.3	Спиновая восприимчивость	13
6	Предельные случаи.	15
6.1	Статистическая сумма и χ_{zz}	15
6.2	$\text{Im } \chi_{+-}(\omega)$	18
7	Заключение	19

1 Введение

Значительный прогресс в изучении квантовых точек (КТ) был достигнут с введением универсального гамильтониана [1]. Последний позволяет чрезвычайно просто описывать взаимодействие электронов на КТ. Все взаимодействие сводится к трем вкладам в гамильтониан: зарядовому, обменному и куперовскому. Однако учет уже первых двух вкладов приводит к неабелевому действию. Куперовский же вклад может приводить к сверхпроводящим корреляциям в трехмерном случае, но магнитное поле подавляющее эти корреляции пропорционально малому параметру $\sqrt{\frac{\delta}{E_{th}}}$ (где δ -расстояние между уровнями, E_{th} -энергия Таулесса) [2].

В случае изотропного и изинговского обмена можно найти точную статистическую сумму [3]. Также был проделан анализ по теории возмущений по анизотропии [4]. Заметим, однако, что характеристики системы в изинговском и изотропном случаях существенно отличаются. Например, в изотропном случае, в отличие от изинговского, мнимая часть частотной восприимчивости равна нулю. С мезоскопической стоунеровской неустойчивостью [5] ситуация обратная - в изинговском случае переход наступает лишь при $J = \delta$ (где J - обменное взаимодействие). Для того, чтобы отследить характерные масштабы проявления вышеуказанных явлений, желательно проанализировать систему в промежуточном между изинговским и изотропным случае.

Наша задача – вычислить и исследовать статистическую сумму и спиновую восприимчивость КТ при наличии осевой анизотропии. Ключевой шаг в вычислении – преобразование Вей-Нормана-Колоколова [6, 7] - позволяет расцепить некоммутирующие множители в статистической сумме и найти её точно.

Для экспериментальной проверки выводов работы нужна КТ с сильным беспорядком – таким, что $E_{th} \gg T, \delta$ Мезоскопическую стоунеровскую неустойчивость можно наблюдать в материалах с J близкими к δ .

2 Универсальный гамильтониан

При энергиях Таулесса много больших чем среднее расстояние между уровнями $E_{Th} \gg \delta$ квантовая точка описывается универсальным гамильтонианом

$$H_{QD} = H_0 + H_C + H_S, \quad (1)$$

где

$$H_0 = \sum_{\alpha\sigma} \epsilon_{\alpha} a_{\alpha\sigma}^{\dagger} a_{\alpha\sigma} \quad (2)$$

- гамильтониан невзаимодействующих частиц,

$$H_C = E_c (\hat{n} - N_0)^2 \quad (3)$$

- зарядовый гамильтониан,

$$H_S = -J_{\perp} (S_x^2 + \hat{S}_y^2) - J_z S_z^2 \quad (4)$$

-обменный гамильтониан,

$$\hat{n} \equiv \sum_{\alpha} \hat{n}_{\alpha} = \sum_{\alpha, \sigma} a_{\alpha, \sigma}^{\dagger} a_{\alpha, \sigma} \quad (5)$$

-полное число частиц на квантовой точке,

$$\hat{S} \equiv \sum_{\sigma \sigma'} a_{\alpha \sigma}^{\dagger} \sigma_{\sigma \sigma'} a_{\alpha \sigma'} \quad (6)$$

- полный спин электронов на точке.

Параметры E_c и J флуктуируют от системы к системе. Также около нулевых средних значений флуктуируют и другие матричные элементы гамильтониана. Порядок этих флуктуаций $\frac{\delta^2}{E_{Th}}$ [8].

Вывод универсального гамильтониана подразумевает большое число электронов на КТ. Однако, бывают случаи, когда универсальный гамильтониан применим и для систем с малым числом электронов [9].

3 Мезоскопическая стоунеровская неустойчивость

С увеличением обменного взаимодействия состояния с большим спином становятся все выгоднее по энергии. В макроскопическом пределе стоунеровская неустойчивость приводит к тому, что все спины скачком становятся сонаправлены по достижении обменным взаимодействием определенного значения. На мезоскопическом уровне такой переход происходит постепенно.

Пусть спектр на квантовой точке эквидистантный со средним расстоянием между уровнями δ . Тогда минимальной кинетической энергией среди состояний со спином S обладает состояние с минимальным числом распаренных электронов. Эта энергия равна δS^2 для целого S и $\delta(S^2 + S - \frac{3}{4})$ для полуцелого. Таким образом, полная энергия состояния, характеризуемого значениями S, S_z равна

$$\begin{cases} E = \delta S^2 - J_{\perp} S(S+1) - (J_z - J_{\perp}) S_z^2, & 2S = 0 \pmod{2}, \\ E = \delta(S^2 - \frac{1}{4}) - J_{\perp} S(S+1) - (J_z - J_{\perp}) S_z^2, & 2S = 1 \pmod{2} \end{cases} \quad (7)$$

Ясно, что будет ли основным состояние $S_z = \pm S$ или $S_z = 0, 1/2$ (в зависимости от четности S) определяется знаком $(J_z - J_{\perp})$.

Энергия основного состояния для эквидистантного спектра имеет следующий вид

$$\begin{cases} E_S = \delta S^2 - J_z S^2 - J_{\perp} S, & J_z > J_{\perp}, \\ E_S = \delta S^2 - J_{\perp} S(S+1), & J_z < J_{\perp} \end{cases} \quad (8)$$

при четных $2S$ и

$$\begin{cases} E_S = \delta(S^2 - \frac{1}{4}) - J_z S^2 - J_{\perp} S, & J_z > J_{\perp} \\ E_S = \delta(S^2 - \frac{1}{4}) - J_{\perp} S(S+1) - \frac{J_z - J_{\perp}}{4}, & J_z < J_{\perp} \end{cases} \quad (9)$$

при нечетных. Критерий Стоунера утверждает, что при $\delta < J$ спин становится пропорционален объему системы. Однако, спин может быть конечным и при $\delta > J$. Обменное взаимодействие приводит к тому, что основным состоянием становится состояние с ненулевым спином.

Чтобы отследить при каких параметрах J_{\perp}, J_z основное состояние меняет спин запишем условие равенства энергий состояний со спином S и $S + 1$:

$$\begin{cases} E_{S+1}^z - E_S^z = \delta(2S + 1) - J_z(2S + 1) - J_{\perp} = 0, & J_z > J_{\perp} \\ E_{S+1}^{\perp} - E_S^{\perp} = \delta(2S + 1) - 2J_{\perp}(S + 1) = 0, & J_z < J_{\perp} \end{cases} \quad (10)$$

Заметим, что условия для четных и нечетных S совпадают.

3.1 Изотропный случай ($J_{\perp} = J_z = J$)

Условие (10) эквивалентно

$$S = \left[\frac{\delta}{2(\delta - J)} \right] \quad (11)$$

Зависимость спина от J/δ приведена слева на Рис.1

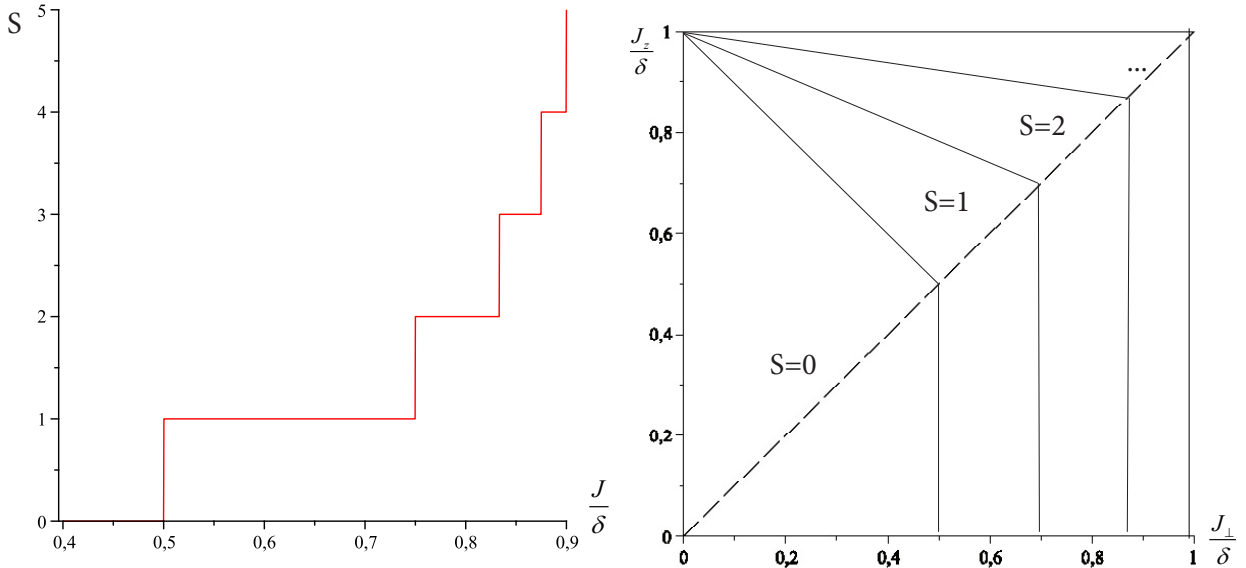


Рис. 1: График S от J в изотропном(слева) и анизотропном(справа) случаях

3.2 Изинговский случай ($J_{\perp} = 0$)

Условие (10) эквивалентно

$$S = \left[\frac{J - \delta}{2(\delta - J)} \right] = 0 \quad (12)$$

и не выполняется при любых J . Это значит, что мезоскопическая стоунеровская неустойчивость исчезает в этом случае.

3.3 Планарный случай $J_z = 0$

$$S = \left[\frac{\delta}{2(\delta - J_{\perp})} \right]. \quad (13)$$

Заметим, что зависимость спина от J_{\perp}/δ такая же, как и в изотропном двумерном случае.

3.4 Общий случай

В общем случае спин основного состояния зависит как от J_z , так и от J_{\perp} . График зависимости приведен справа на Рис. 1

4 Разделение заряда и спина

Лагранжиан соответствующий гамильтониану (1) имеет следующий вид

$$\mathcal{L} = \sum_{\alpha} \bar{\Psi}_{\alpha} \left[\partial_{\tau} - \epsilon_{\alpha} - \frac{g\mu_B}{2} \sigma_z + \mu + i\phi + \frac{\sigma\theta}{2} \right] \Psi_{\alpha} + \frac{\theta_z^2}{4J_z} + \frac{\theta_{\perp}^2}{4J_{\perp}} + \frac{\phi^2}{4E_c} - iN_0\phi. \quad (14)$$

Зададимся целью вычислить функцию Грина при конечной температуре

$$G_{\alpha,\sigma_1,\sigma_2}(\tau_1, \tau_2) = -Z^{-1} \int \mathcal{D}[a^{\dagger} a \phi \vec{\theta}] a_{\alpha,\sigma_1}(\tau_1) a_{\alpha,\sigma_2}^{\dagger}(\tau_2) e^{-\mathcal{S}}, \quad (15)$$

где

$$Z = \int \mathcal{D}[a^{\dagger} a \phi \vec{\theta}] e^{-\mathcal{S}} \quad (16)$$

$$\begin{aligned} \mathcal{S} &= \int_0^{\beta} \sum_{\alpha,\sigma,\sigma'} a_{\alpha\sigma}^{\dagger}(\tau) \left[\partial_{\tau} + \epsilon_{\alpha} - \mu + i\phi(\tau) + \frac{1}{2} \vec{\sigma} \vec{\theta}(\tau) \right] a_{\alpha,\sigma'}(\tau) + \frac{1}{4J_z} \int_0^{\beta} d\tau \theta_z^2 \\ &+ \frac{1}{4J_{\perp}} \int_0^{\beta} d\tau \theta_{\perp}^2 + \frac{1}{4E_c} \int_0^{\beta} d\tau \phi^2(\tau) - iN_0 \int_0^{\beta} d\tau \phi(\tau). \end{aligned} \quad (17)$$

Представим поле ϕ в виде

$$\phi(\tau) = \tilde{\phi}(\tau) + 2\pi mT + \phi_0, \quad |\phi_0| \leq \pi T, \quad \int_0^{\beta} d\tau \tilde{\phi}(\tau) = 0. \quad (18)$$

Сделав преобразование

$$a_{\alpha} \rightarrow e^{-i \int_0^{\tau} (\tilde{\phi} + 2\pi mT) dr'} a_{\alpha} \quad (19)$$

и используя следующие соотношения

$$\left[\int \mathcal{D}[\tilde{\phi}] e^{-\frac{1}{4E_c} \int_0^\beta d\tau \tilde{\phi}^2(\tau)} \right]^{-1} \int \mathcal{D}[\tilde{\phi}] e^{-\frac{1}{4E_c} \int_0^\beta d\tau \tilde{\phi}^2(\tau)} e^{-i \int_{\tau_1}^{\tau_2} d\tau \tilde{\phi}(\tau)} = \exp[-E_c |\tau_{12}| (1 - T |\tau_{12}|)] \quad (20)$$

$$\sum_{m \in Z} e^{-\frac{\pi^2 T}{E_c} (m + \frac{\beta \phi_0}{2\pi})^2} e^{2\pi i N_0 (m + \frac{\beta \phi_0}{2\pi})} e^{-i 2\pi m T \tau_{12}} = \sqrt{\frac{E_c}{\pi T}} \sum_{k \in Z} e^{i\beta \phi_0 k} e^{i\phi_0 \tau_{12}} e^{-\beta E_c (k - N_0 + T \tau_{12})^2} \quad (21)$$

получим

$$G_{\alpha, \sigma_1, \sigma_2}(\tau_1, \tau_2) = Z^{-1} \int_{-\pi T}^{\pi T} d\phi_0 Z[\phi_0] \mathcal{D}(\tau_1, \tau_2 | \phi_0) \mathcal{G}_{\alpha, \sigma_1, \sigma_2}(\tau_1, \tau_2 | \phi_0), \quad Z = \int_{-\pi T}^{\pi T} d\phi_0 \mathcal{D}(\tau_1, \tau_2 | \phi_0) Z[\phi_0] \quad (22)$$

где

$$\mathcal{D}(\tau_1, \tau_2 | \phi_0) = \sqrt{\frac{E_c}{\pi T}} e^{-E_c |\tau_{12}|} \sum_{k \in Z} e^{i\beta \phi_0 k} e^{i\phi_0 \tau_{12}} e^{-\beta E_c (k - N_0)^2} e^{-2E_c (k - N_0) \tau_{12}} \quad (23)$$

$$\mathcal{G}_{\alpha, \sigma_1, \sigma_2}(\tau_1, \tau_2 | \phi_0) = -Z^{-1}[\phi_0] \int \mathcal{D}[a^\dagger a \theta] a_{\alpha, \sigma_1}(\tau_1) a_{\alpha, \sigma_2}^\dagger(\tau_2) e^{-S}, \quad Z[\phi_0] = \int \mathcal{D}[a^\dagger a \vec{\theta}] e^{-S} \quad (24)$$

$$S = \int_0^\beta \sum_{\alpha, \sigma, \sigma'} a_{\alpha \sigma}^\dagger(\tau) \left[\partial_\tau + \epsilon_\alpha - \mu + i\phi_0 + \frac{1}{2} \vec{\sigma} \vec{\theta}(\tau) \right] a_{\alpha, \sigma'}(\tau) + \frac{1}{4J_z} \int_0^\beta d\tau \theta_z^2 + \frac{1}{4J_\perp} \int_0^\beta d\tau \theta_\perp^2. \quad (25)$$

Видно, что функция Грина при наличии кулоновского взаимодействия выражается через функцию Грина гамильтониана без зарядовой части. Таким образом, необходимо вычислить функцию Грина и статистическую сумму системы со сдвинутыми уровнями $\epsilon_\alpha \rightarrow \epsilon_\alpha + i\phi_0$.

4.1 Спин-зарядовое взаимодействие

Взаимодействие зарядовых и спиновых степеней свободы устроено следующим образом.

Если КТ слабо связана с окружением, то при температурах $T \ll E_c$ система находится в режиме кулоновской блокады. Число электронов на КТ с подавляющей вероятностью принимает только два значения $N = [N_0]$ и $N = [N_0] + 1$. Ясно, что намагниченность КТ не может быть больше $N/2$.

Таким образом, фиксируя число частиц на точке, зарядовая часть гамильтониана влияет на спиновую.

Ясно, что вдали от стоунеровской неустойчивости вероятность большой намагниченности системы мала. Поэтому спин-зарядовое взаимодействие становится существенным только вблизи стоунеровской неустойчивости.

5 Точное решение

5.1 Преобразование Вея - Нормана - Колоколова

Зная оператор эволюции системы

$$e^{it[J_\perp S_\perp^2 + J_z S_z^2]} = \prod_\alpha \int \prod_{n=1}^N d\theta_n \mathcal{T} e^{-\frac{it}{4N} [\frac{\theta_n^2}{J_\perp} + \frac{\theta_n^2}{J_z}]} e^{it\theta_n \mathbf{s}_\alpha / N} \quad (26)$$

можно вычислить статистическую сумму. В переменных θ с оператором эволюции работать неудобно, так как он содержит T -экспоненту от суммы некоммутирующих операторов. Если сделать замену

$$\begin{aligned} \theta_{1z,n} &= \rho_{1,n} - \Psi_{1,n}^- (\Psi_{1,n}^\dagger + \Psi_{1,n-1}^\dagger) \\ \theta_{1,n}^- &= \Psi_{1,n}^- \\ \theta_{1,n}^\dagger &= -i \frac{\Psi_{1,n}^\dagger - \Psi_{1,n-1}^\dagger}{\Delta} + \frac{\rho_{1,n} (\Psi_{1,n}^\dagger + \Psi_{1,n-1}^\dagger)}{2} - \Psi_{1,n}^\dagger \Psi_{1,n-1}^\dagger \Psi_{1,n}^- \\ \theta_{2z,n} &= \rho_{2,n} - \Psi_{2,n}^\dagger (\Psi_{2,n}^- + \Psi_{2,n-1}^-) \\ \theta_{2,n}^\dagger &= \Psi_{2,n}^\dagger \\ \theta_{2,n}^- &= i \frac{\Psi_{2,n}^- - \Psi_{2,n-1}^-}{\Delta} + \frac{\rho_{2,n} (\Psi_{2,n}^- + \Psi_{2,n-1}^-)}{2} - \Psi_{2,n}^- \Psi_{2,n-1}^- \Psi_{2,n}^\dagger \end{aligned} \quad (27)$$

T -экспонента сведется к произведению экспонент и статистическая сумма примет удобный для вычислений вид

$$\begin{aligned} Z &= \text{tr} \prod_{n_1, n_2} \int d\Psi_{1,n}^\dagger d\Psi_{1,n}^- d\rho_{1,n} d\Psi_{2,n}^\dagger d\Psi_{2,n}^- d\rho_{2,n} e^{-i \sum \epsilon_{\alpha n} t_1} e^{S^- \Psi_{1,n}^\dagger} e^{iS^z \sum \rho_{1,n} \Delta} e^{iS^\dagger \sum \Psi_{1,n}^- \Delta} \exp(-\sum i\rho_{1,i} \Delta) \\ &\times e^{-S^- \Psi_{1,1}^\dagger} e^{\frac{i\Delta}{2} \sum \rho_{1,n}} e^{i \sum \epsilon_{\beta n} t_2} e^{-S^\dagger \Psi_{2,n}^-} e^{iS^z \sum \rho_{2,n} \Delta} e^{iS^- \sum \Psi_{2,n}^\dagger \Delta} \exp(\sum i\rho_{2,i} \Delta) e^{S^\dagger \Psi_{2,1}^-} e^{-\frac{i\Delta}{2} \sum \rho_{2,n}} \\ &\times \exp(-i \frac{\Delta}{4} \sum [\frac{\rho_{1,n}^2}{J_z} - \frac{4i\Psi_{1,n}^- (\Psi_{1,n}^\dagger - \Psi_{1,n-1}^\dagger)}{\Delta J_\perp} + \frac{\kappa}{J_\perp} (2\rho_{1,n} \Psi_{1,n}^- (\Psi_{1,n}^\dagger + \Psi_{1,n-1}^\dagger) - 4(\Psi_{1,n}^- \Psi_{1,n}^\dagger)^2)]) \\ &\times \exp(i \frac{\Delta}{4} \sum [\frac{\rho_{2,n}^2}{J_z} + \frac{4i\Psi_{2,n}^\dagger (\Psi_{2,n}^- - \Psi_{2,n-1}^-)}{\Delta J_\perp} + \frac{\kappa}{J_\perp} (2\rho_{2,n} \Psi_{2,n}^\dagger (\Psi_{2,n}^- + \Psi_{2,n-1}^-) - 4(\Psi_{2,n}^- \Psi_{2,n}^\dagger)^2)]) \end{aligned} \quad (28)$$

где $\kappa = 1 - \frac{J_\perp}{J_z}$, $\Delta = \frac{t}{N}$.

Заметим, что $(\Psi_{1,n}^\dagger + \Psi_{1,n-1}^\dagger)/2$ в преобразовании (27) в непрерывном пределе дает $\Psi^\dagger(t)$. Казалось бы, дискретных выражений дающих $\Psi^\dagger(t)$ в пределе очень много, например вида $\mu\Psi_{1,n}^\dagger + (1-\mu)\Psi_{1,n-1}^\dagger$. Однако, если дискретизация $\Psi^\dagger(t)$ в первом порядке по Δ не равна $(\Psi_{1,n}^\dagger + \Psi_{1,n-1}^\dagger)/2$ приходится учитывать вклады порядка Δ^2 . Такого рода затруднения приводят к тому, что проводить вычисления удобнее в дискретном представлении.

5.2 Вычисление Z

Введем интегрирование по дополнительной переменной η чтобы избавиться от слагаемых четвертой степени по Ψ :

$$\exp\left(-\frac{i\Delta\kappa}{J_{\perp}}(\Psi_n^{\dagger}\Psi_n^{-})^2\right) = \int d\eta_n \exp\left(-\frac{i\Delta\kappa}{4J_{\perp}}[-\eta_n^2 + 4\eta_n\Psi_n^{\dagger}\Psi_n^{-}]\right) \quad (29)$$

Вычислим функциональный интеграл

$$\int \mathcal{D}\psi \exp\left\{\sum_0^{\infty} \left[\psi_n^+ \frac{\psi_n^- - \psi_{n-1}^-}{\Delta} - (i\eta_n - i\rho_n)\psi_n^+(\psi_n^- + \psi_{n-1}^-)/2\right]\Delta\right\}. \quad (30)$$

Для этого сделаем следующее преобразование

$$\psi_n^+ = \chi_n^+ \exp[\alpha_n] \quad (31)$$

$$\psi_n^- = \chi_n^- \exp[\beta_n] \quad (32)$$

Получим

$$\begin{aligned} & \int \mathcal{D}\eta \mathcal{D}\rho \mathcal{D}\chi J \exp\left\{\sum_0^{\infty} e^{\alpha_n + \beta_n} \left[\chi_n^+ \frac{\chi_n^- - \chi_{n-1}^-}{\Delta}\right] (1 - (i\rho_n - i\eta_n)\Delta/2) + \right. \\ & \left. + \chi_n^+ \frac{\chi_{n-1}^-}{\Delta} (e^{\alpha_n + \beta_n} - e^{\alpha_n + \beta_{n-1}} - (i\eta_n - i\rho_n)\Delta(e^{\alpha_n + \beta_n} + e^{\alpha_n + \beta_{n-1}})/2)\right\} \end{aligned} \quad (33)$$

где $J = e^{\sum_0^{\infty} (\alpha_n + \beta_n)}$.

Чтобы нелинейность исчезла, нужно наложить следующие условия на α_n, β_n :

$$\alpha_n + \beta_n = -\ln(1 - (i\rho_n - i\eta_n)\Delta/2) \quad (34)$$

$$\beta_n - \beta_{n-1} = \ln\left(\frac{1 + i\eta_n/2 - i\rho_n/2}{1 - i\eta_n/2 + i\rho_n/2}\right) \quad (35)$$

В главном порядке по Δ

$$\alpha_n = i\kappa\Delta \sum (\rho_n - \eta_n) \quad (36)$$

$$\beta_n = -i\kappa\Delta \sum (\rho_n - \eta_n) \quad (37)$$

Якобиан преобразования

$$J = e^{i\frac{\kappa}{2} \sum (\rho_n - \eta_n)} \quad (38)$$

Заметим, что можно легко потерять этот Якобиан, если рассматривать задачу в непрерывном пределе.

Распишем явно tr в выражении (28)

$$\begin{aligned}
Z &\propto \int \prod_n d\chi_{1,n}^\dagger d\chi_{1,n}^- d\chi_{2,n}^\dagger d\chi_{2,n}^- d\rho_{1,n} d\rho_{2,n} d\eta_{1,n} d\eta_{2,n} \prod_\gamma (1 + e^{-2i\epsilon_\gamma(t_1-t_2)}) \\
&+ 2e^{-i\epsilon_\gamma(t_1-t_2)} \cos\left(\frac{1}{2} \sum \Delta\rho_{1,n_1} + \frac{1}{2} \sum \Delta\rho_{2,n_2}\right) \\
&+ e^{-i\epsilon_\gamma(t_1-t_2)} e^{\frac{i}{2} \sum \Delta\rho_{1,n_1} - \frac{i}{2} \sum \Delta\rho_{2,n_2}} (-\chi_{1,n_1}^\dagger \chi_{2,n_2}^- e^{i\kappa\Delta \sum (\rho_{2,n_2} - \eta_{2,n_2} - \rho_{1,n_1} + \eta_{1,n_1})}) \\
&- i\chi_{2,n_2}^- e^{i\kappa\Delta \sum (\rho_{2,n_2} - \eta_{2,n_2})} \sum \chi_{2,n_2}^\dagger e^{i \sum \Delta\rho_{2,n_2} - i\kappa\Delta \sum (\rho_{2,n_2} - \eta_{2,n_2})} \\
&+ i\chi_{n_1}^\dagger e^{-i\kappa\Delta \sum (\rho_{1,n_1} - \eta_{1,n_1})} \sum \chi_{n_1}^- e^{-i \sum \Delta\rho_{1,n_1} + i\kappa\Delta \sum (\rho_{1,n_1} - \eta_{1,n_1})} \\
&- \sum \chi_{1,n_1}^- e^{i\kappa\Delta \sum (\rho_{1,n_1} - \eta_{1,n_1}) - \sum i\Delta\rho_{1,n_1}} \\
&\times \sum \chi_{2,n_2}^\dagger e^{-i\kappa\Delta \sum (\rho_{2,n_2} - \eta_{2,n_2}) + i \sum \Delta\rho_{2,n_2}} \\
&\times \exp\left(-\frac{i\Delta}{4J_z} \sum \rho_{1,n_1}^2 - \sum \frac{i\chi_{1,n}^- (\chi_{1,n}^\dagger - \chi_{1,n-1}^\dagger)}{\Delta J_\perp} + \frac{i\Delta}{4J_z} \sum \rho_{2,n_2}^2 + \sum \frac{i\chi_{2,n}^\dagger (\chi_{2,n}^- - \chi_{2,n-1}^-)}{\Delta J_\perp}\right) \\
&+ \frac{i\kappa\Delta}{4J_\perp} \left(-\sum \eta_{1,n_1}^2 + \sum \eta_{2,n_2}^2\right) + \frac{i}{2}(1-\kappa) \sum \Delta\rho_{1,n_1} - \frac{i}{2}(1-\kappa) \sum \Delta\rho_{2,n_2} \\
&+ \frac{i}{2}\kappa \sum \Delta\eta_{1,n_1} - \frac{i}{2}\kappa \sum \Delta\eta_{2,n_2}
\end{aligned} \tag{39}$$

Здесь мы не следим за множителями не зависящими от спектра уровней на точке. Этот множитель мы восстановим позже вычислив статистическую сумму для простейшей системы.

Введем следующие обозначения

$$b_\gamma = 1 + e^{-2i\epsilon_\gamma(t_1-t_2)} + 2e^{-i\epsilon_\gamma(t_1-t_2)} \cos\left(\frac{1}{2} \sum \Delta\rho_{1,n_1} + \frac{1}{2} \sum \Delta\rho_{1,n_2}\right) \tag{40}$$

$$\tilde{d}_\gamma = -e^{-i\epsilon_\gamma(t_1-t_2)} e^{\frac{i}{2} \sum \Delta\rho_{1,n_1} - \frac{i}{2} \sum \Delta\rho_{2,n_2}} e^{-i\kappa\Delta \sum (\rho_{2,n_2} - \eta_{2,n_2} - \rho_{1,n_1} + \eta_{1,n_1})} \tag{41}$$

$$Y_1 = e^{i\kappa\Delta \sum (\rho_{2,n_2} - \eta_{2,n_2})} \sum e^{-i\kappa\Delta \sum (\rho_{1,n_1} - \eta_{1,n_1}) - i \sum \Delta\rho_{1,n_1}} \tag{42}$$

$$Y_2 = e^{-i\kappa\Delta \sum (\rho_{1,n_1} - \eta_{1,n_1})} \sum e^{i\kappa\Delta \sum (\rho_{2,n_2} - \eta_{2,n_2}) + i \sum \Delta\rho_{2,n_2}} \tag{43}$$

Тогда после интегрирования по χ_+, χ_-

$$\begin{aligned}
Z &\propto \int \prod d\rho_{1,n} d\rho_{2,n} d\eta_{1,n} d\eta_{2,n} \exp\left(-\frac{i\Delta}{4J_z} \sum \rho_{1,n_1}^2 + \frac{i\Delta}{4J_z} \sum \rho_{2,n_2}^2 + \frac{i\kappa\Delta}{4J_\perp} \left(-\sum \eta_{1,n_1}^2 + \sum \eta_{2,n_2}^2\right) + \right. \\
&\quad \left. + \frac{i}{2}(1-\kappa) \sum \Delta\rho_{1,n_1} - \frac{i}{2}(1-\kappa) \sum \Delta\rho_{2,n_2} + \frac{i}{2}\kappa \sum \Delta\eta_{1,n_1} - \frac{i}{2}\kappa \sum \Delta\eta_{2,n_2}\right) \prod_\gamma \left(-\int_{|z|=1} \frac{dz_\gamma}{2\pi i z_\gamma^2}\right) e^{-b} \times \\
&\quad \int_0^\infty dy \exp[-y - iJ_\perp \tilde{d}(Y_1 - Y_2)y] \tag{44}
\end{aligned}$$

Выполним следующую замену:

$$\xi_{1,m} = -i\kappa \sum \Delta(\rho_{1,m} - \eta_{1,m}) + i \sum \rho_{1,m} \Delta + \frac{i}{2} \sum \rho_{2,n_2} \Delta - \frac{i}{2} \sum \rho_{1,n_1} \Delta + i\kappa \sum \Delta(\rho_{1,n_1} - \eta_{1,n_1}) \tag{45}$$

$$\xi_{2,m} = i\kappa \sum \Delta(\rho_{2,m} - \eta_{2,m}) - i \sum \rho_{2,m}\Delta + \frac{i}{2} \sum \rho_{2,n_2}\Delta - \frac{i}{2} \sum \rho_{1,n_1}\Delta - i\kappa \sum \Delta(\rho_{2,n_2} - \eta_{2,n_2}) \quad (46)$$

$$\begin{aligned} Z &\propto \int dk \prod_n d\xi_{1,n} d\xi_{2,n} d\eta_{1,n} d\eta_{2,n} \prod_\gamma \left(- \int_{|z|=1} \frac{dz_\gamma}{2\pi i z_\gamma^2} \right) \exp\left(\frac{i\Delta}{4J_z} \sum \frac{(\dot{\xi}_{1,n_1} - i\kappa\eta_{1,n_1})^2}{(1-\kappa)^2} \right. \\ &- \frac{i\Delta}{4J_z} \sum \frac{(\dot{\xi}_{2,n_2} + i\kappa\eta_{2,n_2})^2}{(1-\kappa)^2} - \frac{i\kappa\Delta}{4J_\perp} \left(\sum (-\eta_{2,n_2}^2 + \eta_{1,n_1}^2) \right. \\ &+ \frac{\Delta}{2}(1-\kappa) \sum \frac{(\dot{\xi}_{1,n_1} - i\kappa\eta_{1,n_1})}{(1-\kappa)} + \frac{\Delta}{2}(1-\kappa) \sum \frac{(\dot{\xi}_{2,n_2} + i\kappa\eta_{2,n_2})}{(1-\kappa)} \\ &+ \frac{i}{2}\kappa \sum \Delta\eta_{1,n_1} - \frac{i}{2}\kappa \sum \Delta\eta_{2,n_2} \\ &+ ik\Delta(\xi_{10} - \xi_{20} - \kappa(\xi_{1n_1} - \xi_{2n_2})) + i\kappa \sum (\eta_{1n_1} + \eta_{2n_2})) \\ &\times \int_0^\infty dy \exp[-y - iJ_\perp d(\sum \Delta e^{-\xi_{1,n_1}} - \sum \Delta e^{-\xi_{2,n_2}})y] e^{-b}, \end{aligned}$$

где $\dot{\xi}_n = \frac{\xi_n - \xi_{n-1}}{\Delta}$. Здесь мы учли граничные условия по ξ с помощью δ -функции (интеграл по k).

Возьмем интеграл по η

$$\begin{aligned} Z &\propto \int dk \prod d\xi_{1,n} d\xi_{2,n} \prod_\gamma \left(- \int_{|z|=1} \frac{dz_\gamma}{2\pi i z_\gamma^2} \right) \exp\left(\frac{i\Delta}{4J_\perp} \sum \dot{\xi}_{1,n_1}^2 - \frac{i\Delta}{4J_\perp} \sum \dot{\xi}_{2,n_2}^2 \right. \\ &+ \frac{1}{2}(1+2ik\kappa) \sum \dot{\xi}_{1,n_1} + \frac{1}{2}(1-2ik\kappa) \sum \dot{\xi}_{2,n_2} \\ &\times \exp(ik(\xi_{10} - \xi_{20} - \kappa(\xi_{1n_1} - \xi_{2n_2}))) \\ &\times \exp(-iJ_z \kappa k^2 (1-\kappa)^2 t_{12}) \\ &\times \int_0^\infty dy \exp[-y - iJ_\perp d(\sum \Delta e^{-\xi_{1,n_1}} - \sum \Delta e^{-\xi_{2,n_2}})y] e^{-b} \end{aligned}$$

Проинтегрируем по $\xi_{1,1}, \xi_{2,1}, \dots, \xi_{1,N-1}, \xi_{2,N-1}$ и обозначим $\xi_{1,N}, \xi_{2,N}$ за ξ_1, ξ_2

$$\begin{aligned} Z &\propto \prod_\gamma \left(- \int_{|z|=1} \frac{dz_\gamma}{2\pi i z_\gamma^2} \right) e^{-b} \int_0^\infty \frac{dy}{4yd} e^{-y} \int_{-\infty}^\infty dk d\xi_1 d\xi_2 d\xi_{01} d\xi_{02} \delta(\xi_1 + \xi_2 + 2 \ln 4yd) e^{-2d \operatorname{ch} \frac{\xi_1 - \xi_2}{2}} \\ &\times \langle \xi_1 | e^{-iH_J t_1} e^{(-1/2 + ik(1-\kappa))\xi} | \xi_{01} \rangle \langle \xi_{02} | e^{(-1/2 - ik(1-\kappa))\xi} e^{iH_J t_2} | \xi_2 \rangle \\ &\times \exp(-iJ_z \kappa k^2 (1-\kappa)^2 t_{12}) \end{aligned}$$

где гамильтониан

$$H_J = -J_\perp \frac{\partial^2}{\partial \xi^2} + \frac{J_\perp}{4} e^{-\xi} \quad (47)$$

После интегрирования по y

$$\begin{aligned} Z &\propto \prod_\gamma \left(- \int_{|z|=1} \frac{dz_\gamma}{2\pi i z_\gamma^2} \right) \frac{e^{-b}}{d} \int_{-\infty}^\infty dk d\xi_1 d\xi_2 d\xi_{01} d\xi_{02} F(\eta_1, \eta_2) \\ &\times \langle \xi_1 | e^{-iH_J t_1} e^{(-1/2 + ik(1-\kappa))\xi} | \xi_{01} \rangle \langle \xi_{02} | e^{(-1/2 - ik(1-\kappa))\xi} e^{iH_J t_2} | \xi_2 \rangle \\ &\times \exp(-iJ_z \kappa k^2 (1-\kappa)^2 t_{12}) \end{aligned}$$

$$\eta_{1,2} = e^{-\xi_{1,2}/2} \quad (48)$$

$$F(\eta_1, \eta_2) = \frac{16}{\pi^2} \int_0^\infty d\nu \nu \operatorname{sh}(2\pi\nu) K_{2i\nu}(\eta_1) K_{2i\nu}(\eta_2) K_{2i\nu}(2d) \Rightarrow \quad (49)$$

$$\begin{aligned} Z &\propto \prod_\gamma \left(- \int_{|z|=1} \frac{dz_\gamma}{2\pi i z_\gamma^2} \right) \frac{e^{-b}}{d} \int_{-\infty}^\infty dk d\xi_{01} d\xi_{02} d\nu \\ &\times K_{2i\nu}(2d) \langle \xi_{02} | e^{(-1/2 - ik(1-\kappa))\xi} e^{iH_J t_2} | \nu \rangle \langle \nu | e^{-iH_J t_1} e^{(-1/2 + ik(1-\kappa))\xi} | \xi_{01} \rangle \\ &\times \exp(-iJ_z \kappa k^2 (1-\kappa)^2 t_{12}) \end{aligned}$$

где $t_{12} = t_1 - t_2$

$$\begin{aligned} Z &\propto \prod_\gamma \left(- \int_{|z|=1} \frac{dz_\gamma}{2\pi i z_\gamma^2} \right) \frac{e^{-b}}{d} \int_{-\infty}^\infty d\xi_+ d\xi_- d\nu dq \\ &\times K_{2i\nu}(2d) e^{-iJ_\perp \nu^2 t_{12}} \langle \xi_{02} | \nu \rangle \langle \nu | \xi_{01} \rangle \\ &\times \exp(-iJ_z \kappa q^2 t_{12}) e^{4iq\xi_-} e^{-2\xi_+} \end{aligned}$$

где $\xi_+ = \frac{\xi_{01} + \xi_{02}}{4}$, $\xi_- = \frac{\xi_{01} - \xi_{02}}{4}$, $q = (1-\kappa)k$.

$$\begin{aligned} Z &\propto \prod_\gamma \left(- \int_{|z|=1} \frac{dz_\gamma}{2\pi i z_\gamma^2} \right) \frac{e^{-b}}{d} \int_{-\infty}^\infty d(e^{-\xi_+}) d\xi_- d\nu dq \\ &\times K_{2i\nu}(2d) e^{-iJ_\perp \nu^2 t_{12}} \nu \operatorname{sh} 2\pi\nu K_{2i\nu}(e^{-\xi_+ - \xi_-}) K_{2i\nu}(e^{-\xi_+ + \xi_-}) \\ &\times \exp(-iJ_z \kappa q^2 t_{12}) e^{4iq\xi_-} e^{-\xi_+} \end{aligned}$$

Пользуясь следующими соотношениями

$$(GR6.521(3)) \quad \int_0^\infty x K_l(ax) K_l(bx) dx = \frac{\pi(ab)^{-l}(a^{2l} - b^{2l})}{2 \sin(l\pi)(a^2 - b^2)}, \quad (50)$$

$$(GR8.432) \quad K_l(x) = \int_0^\infty e^{-x \operatorname{ch} t} \operatorname{ch}(lt) dt, \quad (51)$$

получим

$$\begin{aligned} Z &\propto \prod_\gamma \left(- \int_{|z|=1} \frac{dz_\gamma}{2\pi i z_\gamma^2} \right) \frac{e^{-b}}{d} \int_{-\infty}^\infty d\xi_- d\nu dy dq \\ &\times e^{-iJ_\perp \nu^2 t_{12}} \frac{\operatorname{sh}(4i\nu\xi_-)}{\operatorname{sh}(2\xi_-)} \\ &\times \exp\left(\frac{i(2\xi_-)^2}{\kappa J_z t_{12}}\right) \exp(-2d \operatorname{ch} y) \frac{\partial}{\partial y} \exp(2i\nu y) \exp(-iJ_z \kappa q^2 t_{12}) e^{4iq\xi_-}. \end{aligned}$$

$$\begin{aligned} Z &\propto \int_{-\infty}^\infty \prod_{\gamma, \sigma} (1 + e^{-\beta\epsilon_\gamma + y\sigma}) d\xi_- d\nu dy dq \operatorname{sh}(y) \\ &\times e^{-iJ_\perp \nu^2 t_{12}} \frac{\operatorname{sh}(4i\nu\xi_-)}{\operatorname{sh}(2\xi_-)} \\ &\times \exp\left(\frac{i(2\xi_-)^2}{\kappa J_z t_{12}}\right) \exp(2i\nu y) \exp(-iJ_z \kappa q^2 t_{12}) e^{4iq\xi_-} \end{aligned}$$

Чтобы получить получить стат.сумму нужно положить $t_{12} = -i\beta$

$$\int_{-\infty}^{\infty} dh d\xi_- \prod_{\gamma, \sigma} (1 + e^{-\beta\epsilon_\gamma + \beta h\sigma}) \frac{\text{sh}(\beta h) \text{sh}(\frac{4\xi_- h}{J_\perp})}{\text{sh}(2\xi_-)} \exp(\frac{-\beta h^2}{J_\perp} - \frac{4\xi_-^2}{\beta} (\frac{J_z}{(J_z - J_\perp) J_\perp}) \quad (52)$$

Статистическую сумму для системы с магнитным полем B вдоль оси z

$$\begin{aligned} Z &\propto \prod_{\gamma} (- \int_{|z|=1} \frac{dz_\gamma}{2\pi i z_\gamma^2}) \frac{e^{-b}}{d} \int_{-\infty}^{\infty} de^{-\xi_+} d\xi_- d\nu dq \\ &\times K_{2i\nu}(2d) e^{-\beta J_\perp \nu^2} \nu \text{sh} 2\pi\nu K_{2i\nu}(e^{-\xi_+ - \xi_-}) K_{2i\nu}(e^{-\xi_+ + \xi_-}) \\ &\times \exp(-\beta J_z \kappa q^2) e^{4iq\xi_- + i\beta q \Delta_B} e^{-\xi_+}, \end{aligned}$$

(где $\Delta B = -\mu_B g_l B$ -зеemanовское расщепление, связанное с полем B) легко получить сдвинув $S_z \rightarrow S_z + \frac{B}{2J_z}$ в выражении для оператора эволюции (26) и домножив его на $e^{-\frac{i t \Delta_B^2}{4J_z}}$. Это приведет к появлению фактора $e^{\frac{iB}{2J_z} \sum \rho_{1,n} \Delta} e^{\frac{i\Delta_B}{2J_z} \sum \rho_{2,n} \Delta} e^{-\frac{i t_{12} \Delta_B^2}{4J_z}}$ в выражении (28) и повлияет на граничные условия по ξ в (47).

$$Z \propto \int_{-\infty}^{\infty} dh d\xi_- \prod_{\gamma, \sigma} (1 + e^{-\beta\epsilon_\gamma + \beta h\sigma}) \frac{\text{sh}(\beta h) \text{sh}(\frac{4\xi_- h}{J_\perp})}{\text{sh}(2\xi_-)} \exp(\frac{-\beta h^2}{J_\perp} - \frac{4\xi_-^2}{\beta} \frac{1}{J_\perp} - \frac{4(\xi_- + \frac{\beta \Delta_B}{4})^2}{\beta} \frac{1}{J_z - J_\perp}) \quad (53)$$

Нормировочный множитель вычисляется в системе без уровней.

$$\begin{aligned} Z &= \frac{2 \exp(-\frac{\beta J_\perp}{4})}{\pi \sqrt{J_\perp (J_z - J_\perp)}} \int_{-\infty}^{\infty} dh d\xi_- \prod_{\gamma, \sigma} (1 + e^{-\beta\epsilon_\gamma + \beta h\sigma}) \frac{\text{sh}(\beta h) \text{sh}(\frac{4\xi_- h}{J_\perp})}{\text{sh}(2\xi_-)} \exp(\frac{-\beta h^2}{J_\perp} - \frac{4\xi_-^2}{\beta} \frac{1}{J_\perp} \\ &- \frac{4(\xi_- + \frac{\beta \Delta_B}{4})^2}{\beta} \frac{1}{J_z - J_\perp}) \quad (54) \end{aligned}$$

Заменяв $\epsilon_\alpha \rightarrow \epsilon_\alpha + i\phi_0$ получим $Z[\phi_0]$

Статистическая сумма имеет наглядное представление в виде сумм

$$Z = \sum_{n_\uparrow n_\downarrow} \sum_{s=-m}^m Z_{n_\uparrow} Z_{n_\downarrow} \exp(\beta \mu n + \beta J_\perp m(m+1) - \beta E_c (n - N_0)^2 - \beta \Delta_B s + \beta (J_z - J_\perp) s^2) \quad (55)$$

где $m = (n_\uparrow - n_\downarrow)/2$.

Оно получается из (54) следующим образом. Заменяем

$$\prod_{\gamma, \sigma} (1 + e^{-\beta\epsilon_\gamma + \beta h\sigma}) \rightarrow \sum_{N=0}^{\infty} Z_N e^{N\beta h\sigma} \quad (56)$$

где

$$Z_n = \oint \frac{dz}{2\pi i} z^{-n-1} \prod_{\gamma} (1 + z e^{-\beta\epsilon_\gamma}) \quad (57)$$

и получим

$$Z = \sum_{n_\uparrow n_\downarrow} Z_{n_\uparrow} Z_{n_\downarrow} e^{\beta\mu n - \beta E_c(n - N_0)^2} \frac{\beta \exp(-\frac{\beta J_\perp}{4})}{2\pi \sqrt{J_\perp(J_z - J_\perp)}} \int_{-\infty}^{\infty} dh d\xi \frac{\text{sh}(\beta h) \text{sh}(\frac{\beta \xi h}{J_\perp})}{\text{sh}(\beta \xi/2)} \times \exp\left(\frac{-\beta h^2}{J_\perp} + \beta h(n_\uparrow - n_\downarrow) - \frac{\beta \xi^2}{4} \frac{1}{J_\perp} - \beta(\xi + \Delta_B)^2 \frac{1}{4(J_z - J_\perp)}\right). \quad (58)$$

Возьмем интеграл по h

$$Z = \sum_{n_\uparrow n_\downarrow} Z_{n_\uparrow} Z_{n_\downarrow} e^{\beta\mu n - \beta E_c(n - N_0)^2 + \beta J_\perp m(m+1)} \frac{\sqrt{\beta} \exp(-\frac{\beta J_\perp}{4})}{2\sqrt{\pi} \sqrt{J_z - J_\perp}} \int_{-\infty}^{\infty} d\xi \frac{\text{sh}(\beta \xi(2m+1)/2)}{\text{sh}(\beta \xi/2)} \times \exp(-\beta(\xi + \Delta_B)^2 \frac{1}{4(J_z - J_\perp)}). \quad (59)$$

Так как

$$\frac{\text{sh} x(2m+1)}{\text{sh} x} = \sum_{s=-m}^m e^{2xs} \quad (60)$$

взяв интеграл по ξ придем к (55)

5.3 Спиновая восприимчивость

Определим продольную спиновую восприимчивость как

$$\chi_{zz} = T \frac{\partial^2}{\partial \Delta_B^2} \ln Z. \quad (61)$$

Такое определение отличается от обычного

$$\chi_{zz} = T \frac{\partial^2}{\partial B^2} \ln Z \quad (62)$$

только фактором $\mu_B^2 g_l^2$.

Используя выражения для статистической суммы находим, что

$$\begin{aligned} \chi_{zz} &= \frac{1}{Z} \sum_n e^{\beta\mu n - \beta E_c(n - N_0)^2} \frac{\beta \exp(-\frac{\beta J_\perp}{4})}{2\pi \sqrt{J_\perp(J_z - J_\perp)}} \int_{-\infty}^{\infty} dh d\xi \prod_{\gamma, \sigma} (1 + e^{-\beta \epsilon_\gamma + \beta h \sigma}) \frac{\text{sh}(\beta h) \text{sh}(\frac{\beta \xi h}{J_\perp})}{\text{sh}(\beta \xi/2)} \\ &\times \left(\frac{-1}{2(J_z - J_\perp)} + \frac{\beta(\xi + \Delta_B)^2}{4(J_z - J_\perp)^2} \right) \exp\left(\frac{-\beta h^2}{J_\perp} - \frac{\beta(\xi)^2}{4} \frac{1}{J_\perp} - (\xi + \Delta_B)^2 \frac{\beta}{4(J_z - J_\perp)}\right) \\ &= \frac{1}{Z} \sum_{n_\uparrow n_\downarrow} Z_{n_\uparrow} Z_{n_\downarrow} \exp(\beta\mu n + \beta J_\perp m(m+1) - \beta E_c(n - N_0)^2) \\ &\times \sum_{s=-m}^m s^2 \exp(-\beta B s + \beta(J_z - J_\perp)s^2) \end{aligned} \quad (63)$$

Недиагональные компоненты

$$\chi_{xz} \propto \langle \hat{S}_x \hat{S}_z \rangle \propto \text{Tr}(\hat{S}_x \hat{S}_z e^{-\beta \hat{H}}) = 0, \quad (64)$$

так как $\hat{S}_z e^{-\beta \hat{H}}$ диагонально по спиновым индексам, а \hat{S}_x не имеет диагональных компонент.

Поперечная спиновая восприимчивость

$$\chi_{+-}(t) = \frac{1}{Z} \text{Tr}([S^+(t), S^-(0)] e^{-\beta H}), \quad (65)$$

где $S_+ = S_x + iS_y$, $S_- = S_x - iS_y$, зависит от времени, так как S_x, S_y не коммутируют с гамильтонианом.

Решение уравнений движения для спина при осевой анизотропии без магнитного поля

$$\hat{S}_z(t) = \hat{S}_z(0) \quad (66)$$

$$\hat{S}^+(t) = e^{2(J_\perp - J_z) i \hat{S}_z t} \hat{S}^+(0) e^{-i(J_\perp - J_z) t} \quad (67)$$

$$\hat{S}^-(t) = e^{-2(J_\perp - J_z) i \hat{S}_z t} \hat{S}^-(0) e^{-i(J_\perp - J_z) t}. \quad (68)$$

позволяет найти

$$\chi_{+-} = \frac{1}{Z} \text{Tr}([S_+(t), S_-(0)] e^{-\beta H}) = 2 \text{Tr} e^{-\beta H} [\cos(\kappa J_z t) S_z + i \sin(\kappa J_z t) (S_x S_x + S_y S_y)], \quad (69)$$

где $\hat{H}_+ = \hat{H} + \frac{2\kappa i t J_z}{\beta} \hat{S}_z = \hat{H} + \Delta_B^{\text{eff}} \hat{S}_z$.

$$\chi_{+-} = \frac{2T}{Z} [\cos(\kappa J_z t) \frac{\partial}{\partial \Delta_B} + i \sin(\kappa J_z t) \frac{\partial}{\partial J_\perp}] Z_+ \quad (70)$$

где Z_+ статистическая сумма системы с гамильтонианом \hat{H}_+ .

В представлении через суммы

$$\begin{aligned} \chi_{+-}(\omega) &= \frac{2}{Z} \int dt e^{i(\omega + \Delta_B)t} \sum_{n_\uparrow n_\downarrow} \sum_{s=-m}^m Z_{n_\uparrow} Z_{n_\downarrow} \exp(\beta \mu n + \beta J_\perp m(m+1) - \beta E_c(n - N_0)^2 \\ &\quad - \beta \Delta_B s + 2i(J_z - J_\perp)ts + \beta(J_z - J_\perp)s^2) [-s \cos(J_z - J_\perp)t \\ &\quad + i(m(m+1) - s^2) \sin(J_z - J_\perp)t] \\ &= -\frac{1}{Z} \sum_{n_\uparrow n_\downarrow} \sum_{s=-m}^m Z_{n_\uparrow} Z_{n_\downarrow} \exp(\beta \mu n + \beta J_\perp m(m+1) - \beta E_c(n - N_0)^2 \\ &\quad + \beta(J_z - J_\perp)s^2)(m(m+1) - s^2 - s) [e^{\beta \Delta_B s} (\omega + \Delta_B + (2s+1)(J_z - J_\perp) + i0)^{-1} \\ &\quad - e^{-\beta \Delta_B s} (\omega + \Delta_B - (2s+1)(J_z - J_\perp) + i0)^{-1}] \end{aligned} \quad (71)$$

Для поперечной спиновой восприимчивости есть также выражение через стат. сумму в мнимом магнитном поле

$$\chi_{+-}(\omega) = \frac{1}{Z} \sum_{s=\pm} \int_{-\pi}^{\pi} \frac{d\lambda}{2\pi} \sum_n e^{-i\lambda n} \frac{1}{\omega - (J_z - J_\perp)(n+s) + i0} [s \frac{\partial}{\partial J_\perp} - \frac{n}{2}] Z[2i\lambda], \quad (72)$$

где

$$Z[2i\lambda] = \frac{1}{2\sqrt{\pi\beta(J_z - J_\perp)}} \left(\frac{\delta}{\delta - J_\perp} \right)^{1/2} e^{\frac{\beta J_\perp^2}{4(\delta - J_\perp)}} e^{\frac{\lambda^2}{\beta J_*}} \sum_{p=\pm} I_0 \left(\frac{\delta}{\delta - J_\perp} + 2ip\lambda \frac{1}{\beta(J_z - J_\perp)}; \sqrt{\beta J_*} \right) \quad (73)$$

и

$$I_0(a, b) = \int_{-\infty}^{\infty} dx \frac{\text{sh } ax}{\text{sh } x} e^{-\frac{x^2}{b^2}} \quad (74)$$

Заметим, что у χ_{+-} есть нетривиальная мнимая часть. Это означает, что в системе появилась диссипация.

$\text{Im } \chi_{+-}$ представляет из себя сумму дельта функций следующего вида

$$\begin{aligned} \text{Im } \chi_{+-}(\omega) &= \frac{\pi \text{sgn}(\omega + \Delta_B)}{Z} \sum_n \delta(\omega + \Delta_B - (2n + 1)\delta J) \exp(-\beta(\delta - J_z)x^2) \\ &\times e^{-\beta\Delta_B x \text{sgn}(\omega + \Delta_B)} (1 - \exp(\beta(\omega \text{sgn}(\omega + \Delta_B)))) F(x) \end{aligned} \quad (75)$$

где $x = \frac{|\omega + \Delta_B|}{2|\delta J|} - \frac{1}{2}$, $\delta J = J_z - J_{\perp}$,

$$F(x) = \sum_{k=1}^{+\infty} [(k^2 + k + 2kx)e^{\beta J_{\perp}(x+k)} + (k^2 - k + 2(k-1)x)e^{-\beta J_{\perp}(x+k)}] \exp(-\beta(\delta - J_{\perp})k^2 + k(-2\beta(\delta - J_{\perp})x)) \quad (76)$$

6 Пределные случаи.

6.1 Статистическая сумма и χ_{zz}

При температуре $\delta \ll T \ll \mu(\ln \bar{J}_{\perp}/T)^{-1}$ произведение $\prod_{\gamma, \sigma} (1 + e^{-\beta\epsilon_{\gamma} + \beta h\sigma}) \sim e^{-2\beta\Omega_0(\mu) + \frac{\beta h^2}{\delta}}$. После подстановки интеграл по h берется

$$\begin{aligned} Z &= \frac{2\sqrt{\bar{J}_{\perp}} e^{-2\beta\Omega_0(\mu)}}{\sqrt{\pi\beta} \sqrt{J_{\perp}(J_z - J_{\perp})}} \int_{-\infty}^{\infty} d\xi_{-} \frac{\text{sh}(2\xi_{-} \frac{\bar{J}_{\perp}}{J_{\perp}})}{\text{sh}(2\xi_{-})} \exp\left(\frac{\beta(\bar{J}_{\perp} - J_{\perp})}{4} + \frac{4\xi_{-}^2 \bar{J}_{\perp} - J_{\perp}}{\beta J_{\perp}^2}\right) \\ &- \frac{4(\xi_{-} + \frac{\beta\Delta_B}{4})^2}{\beta} \frac{1}{J_z - J_{\perp}} \end{aligned} \quad (77)$$

где $\bar{J}_{\perp} = \frac{\delta J_{\perp}}{\delta - J_{\perp}}$.

Введем новую величину обратно пропорциональную коэффициенту при ξ_{-}^2

$$J^* = \left(\frac{1}{J_z - J_{\perp}} - \frac{\bar{J}_{\perp} - J_{\perp}}{J_{\perp}^2}\right)^{-1} = \left(\frac{1}{J_z - J_{\perp}} - \frac{1}{\delta - J_{\perp}}\right)^{-1} = \frac{(J_z - J_{\perp})(J_{\perp} - \delta)}{(J_z - \delta)} \quad (78)$$

Таким образом (77) переписывается следующим образом

$$Z = \frac{\sqrt{\delta} e^{-2\beta\Omega_0(\mu)}}{\sqrt{\pi\beta(\delta - J_{\perp})(J_z - J_{\perp})}} \exp\left(\frac{\beta J_{\perp}^2}{4(\delta - J_{\perp})}\right) \exp\left(\frac{\beta\Delta_B^2}{4(\delta - J_z)}\right) I(a, b, c), \quad (79)$$

где

$$I(a, b, c) = \int dx \frac{\text{sh}(ax)}{\text{sh}(x)} \exp\left(-\frac{1}{b^2}(x + c)^2\right) \quad (80)$$

есть функция трех независимых параметров

$$\begin{aligned} a &= \frac{\delta}{\delta - J_{\perp}} \\ b &= \sqrt{\beta J^*} \\ c &= \frac{\beta(\delta - J_{\perp})\Delta_B}{2(\delta - J_z)} \end{aligned} \quad (81)$$

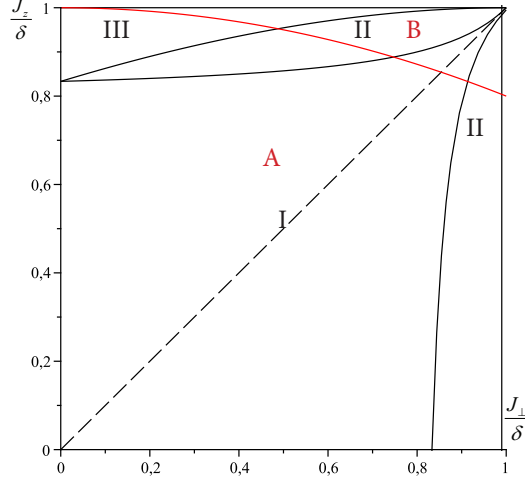


Рис. 2: Области соответствующие различным предельным случаям. $T/\delta = 5$

Есть несколько предельных случаев по соотношению этих параметров друг с другом. Области по параметрам соответствующие этим предельным случаям приведены на Рис. 6.1 При $b \ll 1, 1/a$ (область I)

$$I = \sqrt{\pi} b \frac{\text{sh}(ac)}{\text{sh}(c)} \quad (82)$$

$$\begin{aligned} \chi_{zz} = & \frac{1}{2(\delta - J_z)} + \frac{\beta(\delta - J_\perp)}{(\delta - J_z)} (a^2 - 2a \text{cth} ac \text{cth} c - 1 + 2 \text{cth}^2 c) \\ & - \frac{\Delta_B}{(\delta - J_z)^2} \left(\frac{a \text{ch} ac}{\text{sh} ac} - \frac{\text{ch} c}{\text{sh} c} \right) + \frac{\beta \Delta_B^2}{4(\delta - J_z)^2} \end{aligned} \quad (83)$$

При $B \rightarrow 0$

$$\chi_{zz} = \frac{1}{2(\delta - J_z)} + \left[\frac{\delta^2}{(\delta - J_\perp)^2} - 1 \right] \frac{\beta(\delta - J_\perp)}{12(\delta - J_z)} \quad (84)$$

При $1/a \ll b \ll 1$ (область II)

При $|c| < b^2 a/4$

$$I = \sqrt{\pi} b e^{\frac{a^2 b^2}{4}} \left(\frac{e^{ac}}{\text{sh}(c + ab^2/2)} - \frac{e^{-ac}}{\text{sh}(c - ab^2/2)} \right) \quad (85)$$

$$\chi_{zz} = \frac{\beta \Delta_B^2}{4(\delta - J_z)^2} + \frac{\beta \delta^2}{4(\delta - J_z)^2} + \frac{\beta \delta \Delta_B}{2(\delta - J_z)^2} \frac{e^{ac} \text{sh}(c - \frac{ab^2}{2}) + e^{-ac} \text{sh}(c + \frac{ab^2}{2})}{e^{ac} \text{sh}(c - \frac{ab^2}{2}) - e^{-ac} \text{sh}(c + \frac{ab^2}{2})} \quad (86)$$

При $|c| > b^2 a/4$

$$I = \sqrt{\pi} b e^{\frac{a^2 b^2}{4}} \frac{e^{|c|}}{\text{sh}(|c| + ab^2/2)} \quad (87)$$

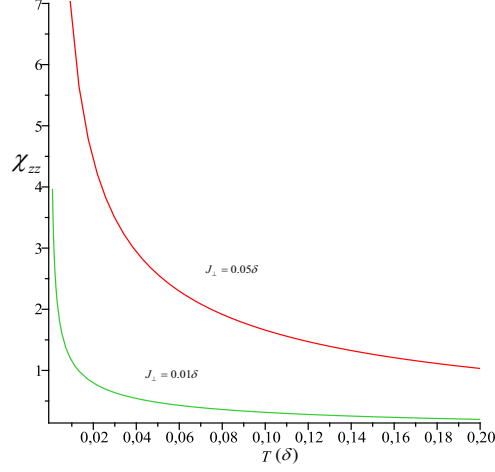


Рис. 3: График зависимости χ_{zz} от температуры для $J_{\perp} = 0.01\delta$ и $J_{\perp} = 0.05\delta$.

$$\chi_{zz} = \frac{\beta\Delta_B^2}{4(\delta - J_z)^2} + \frac{\beta\delta^2}{4(\delta - J_z)^2} + \frac{\beta\delta\Delta_B}{2(\delta - J_z)^2} \operatorname{sgn} c \quad (88)$$

При $1/a, 1 \ll b$ (область III)

$$I = \frac{\sqrt{\pi}b}{2} \exp\left(\frac{(a-1)^2b^2}{4}\right) [e^{c(a-1)/2} \operatorname{erfc}(-(a-1)b/2 - c/b) + e^{-c(a-1)/2} \operatorname{erfc}(-(a-1)b/2 + c/b)] \quad (89)$$

$$\begin{aligned} \chi_{zz} = & \frac{1}{2(\delta - J_z)} + \frac{\beta\Delta_B^2}{4(\delta - J_z)^2} + \frac{\beta J_{\perp}^2}{4(\delta - J_z)^2} \\ & + [e^{c(a-1)/2} \operatorname{erfc}(-(a-1)b/2 - c/b) + e^{-c(a-1)/2} \operatorname{erfc}(-(a-1)b/2 + c/b)]^{-1} \\ & \times [e^{c(a-1)/2} \left(\frac{\beta\Delta_B J_{\perp}}{2(\delta - J_z)} \operatorname{erfc}(-(a-1)b/2 - c/b)\right. \\ & + (c/b^2 - (a-1)/2) \frac{(\delta - J_{\perp})^2}{(\delta - J_z)^2} \exp(-((a-1)b/2 + c/b)^2) \\ & - e^{-c(a-1)/2} \left(\frac{\beta\Delta_B J_{\perp}}{2(\delta - J_z)} \operatorname{erfc}(-(a-1)b/2 + c/b)\right. \\ & \left. + (c/b^2 + (a-1)/2) \frac{(\delta - J_{\perp})^2}{(\delta - J_z)^2} \exp(-((a-1)b/2 + c/b)^2)\right)] \quad (90) \end{aligned}$$

При $B \rightarrow 0$

$$\chi_{zz} = \frac{1}{2(\delta - J_z)} + \frac{\beta J_{\perp}}{4(\delta - J_z)^2} \left(J_{\perp} + \frac{2\sqrt{(\delta - J_z)(\delta - J_{\perp})}}{\sqrt{\pi}\sqrt{\beta(J_z - J_{\perp})}} \right) e^{-\frac{\beta J_{\perp}^2 (J_z - J_{\perp})}{4(\delta - J_{\perp})(\delta - J_z)}} \operatorname{erfc}^{-1} \left(\sqrt{\frac{\beta J_{\perp}^2 (J_z - J_{\perp})}{4(\delta - J_{\perp})(\delta - J_z)}} \right) \quad (91)$$

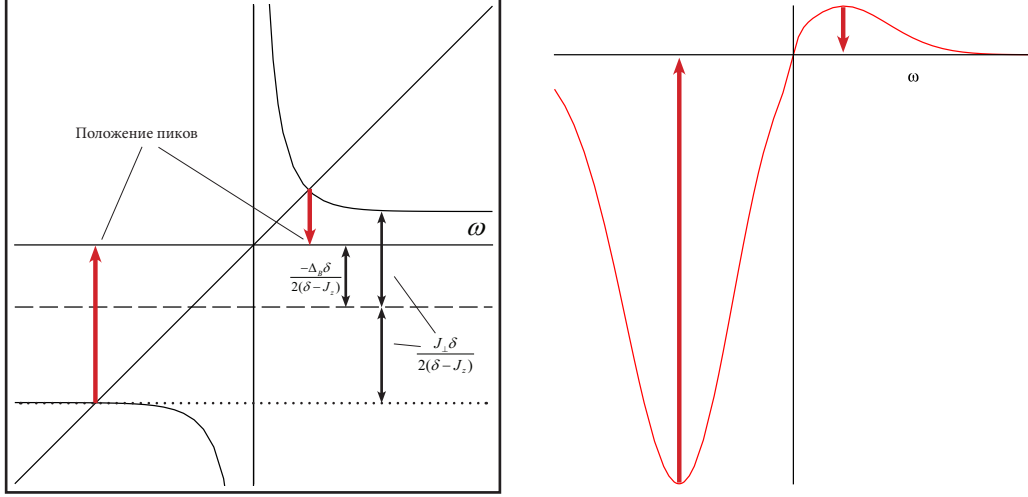


Рис. 4: Условие на положение пиков.

Заметим, последнее выражение в пределе $J_{\perp} \rightarrow 0$ стремится к $\frac{1}{2(\delta - J_z)}$ и температурная зависимость исчезает. Связано это с "вымораживанием" вращательных степеней свободы при низких температурах в анизотропном случае.

6.2 $\text{Im } \chi_{+-}(\omega)$

Кривая для $\text{Im } \chi_{+-}(\omega)$ представляет собой два пика шириной $\frac{\delta J}{\sqrt{\beta(\delta - J_z)}}$. Условие того, что расстояние между пиками много больше их ширины эквивалентно $\beta J_{\perp}^2 \gg (\delta - J_z)$. Это соответствует области *B* на Рис. 6.1.

В изотропном пределе, при $J_z - J_{\perp} \ll \delta - J_z$ кривая для мнимой части спиновой восприимчивости имеет два пика $\omega = -B \pm \frac{J_{\perp} \delta J}{\delta - J_z}$ высотой $(\text{Im } \chi_{+-})_{max} = \frac{\pi T \delta^{3/2} \text{sh } \frac{\beta \Delta_B}{2}}{(\delta - J_z)^{5/2} |J_z - J_{\perp}| \text{sh } \frac{\beta \Delta_B \delta}{2(\delta - J_z)}} (1 - e^{-\beta \Delta_B \text{sgn}(\omega + B)} (1 + \frac{\beta J_{\perp}}{2(\delta - J_z)}))$. Видно, что с приближением к изотропному случаю ширина пиков стремится к нулю. При исчезновении магнитного поля бесконечно малой становится и площадь пиков, что соответствует исчезновению спиновой динамики в системе. В изинговском пределе, в области *III* при $J_{\perp} \ll \delta$ положение пика определяется следующим уравнением

$$|\omega + \Delta_B| = \frac{J_{\perp} \delta}{2(\delta - J_z)} - \frac{\Delta_B \delta \text{sgn}(\omega + \Delta_B)}{2(\delta - J_z)} + \frac{\delta^2 (\text{cth } \beta \delta J_x - 1)}{2(\delta - J_z)} - \frac{\delta^2}{\delta - J_z} g(x) \quad (92)$$

где

$$g(x) = \begin{cases} e^{-2\beta|\omega + \Delta_B|}, & |\omega + \Delta_B| \gg T \\ \frac{2}{\sqrt{\pi \beta \delta}} \text{erfc}(2\sqrt{\beta \delta} |\omega + \Delta_B|), & |\omega + \Delta_B| \ll \sqrt{T \delta} \end{cases} \quad (93)$$

Масштабы, определяющие положение пика, приведены на графике Рис. 6.2.

7 Заключение

В данной работе вычислена точная статистическая сумма и спиновая восприимчивость для квантовой точки с осевой анизотропией обменного взаимодействия и произвольным распределением уровней. Установлено, что преобразование Вея-Нормана-Колоколова позволяет вычислить статистическую сумму в квадратурах для неабелева гамильтониана. Из конечного ответа можно получить простое и заранее очевидное выражение через сумму по числу частиц, полному спину и его проекции на ось z . Это позволило проверить все переходы связанные с вычислением по дискретному времени, например, появление якобиана (38).

Проанализированы асимптотики для случая большого числа электронов на точке. Обнаружено подавление температурной зависимости продольной спиновой восприимчивости по сравнению с изотропным случаем, связанное с "вымораживанием" вращательных степеней свободы при низких температурах из-за анизотропии.

Список литературы

- [1] L.I.Glazman and M.Pustilnik in *New Directions in Mesoscopic Physics (Towards to Nanoscience)*, eds. R. Fazio, G. F.Gantmakher and Y. Imry (Kluwer, Dordrecht,2003).
- [2] I. L. Aleiner, P.W. Brouwer, L. I. Glazman, *Quantum effects in Coulomb blockade*, Phys. Rep. **358**, 309 (2002).
- [3] I. S. Burmistrov, Y. Gefen, and M. N. Kiselev, JETP Lett.,**92**, 3 (2010);
- [4] M. Kiselev and Y. Gefen, Phys. Rev. Lett., **96**, 66805(2006)
- [5] I. L. Kurland, I. L. Aleiner, and B. L. Altshuler, Phys. Rev. B **62**, 14886–14897 (2000)
- [6] J. Wei, E. Norman, *Lie algebraic solution of linear differential equations*, J. Math. Phys. **4**, 575 (1963).
- [7] I. V. Kolokolov, *Functional representation for the partition function of the quantum Heisenberg ferromagnet*, Phys. Lett. A **114**, 99 (1986).
- [8] B. L. Altshuler, Y. Gefen, A. Kamenev, L. S. Levitov, *Quasiparticle Lifetime in a Finite System: A Nonperturbative Approach*, Phys. Rev. Lett. **78**, 2803 (1997).
- [9] A. U. Sharafutdinov and I. S. Burmistrov, J. Phys.: Condens. Matter, **24**, 155301 (2012)